

## 任意方向単純せん断試験機による砂の応力・ひずみ挙動

名古屋工業大学 正員 松岡 元

" " 竹田一夫

" 大学院 学生員 ○福武毅芳

" 研究留学生 陳 越

地震波のような任意方向の繰返せん断挙動を再現するため、水平面内の直交2方向にせん断応力を独立に載荷できる単純せん断試験機<sup>1)</sup>を用いて、任意の半径方向繰返せん断経路や円周方向せん断経路下の砂の応力・ひずみ挙動、特にせん断応力とせん断ひずみ増分方向のズレについて考察した。

## 1. 任意方向単純せん断試験機の概要

図-1に試験機の平面図を示す。試料は飽和状態の豊浦砂(初期間隙比 約0.70)で、供試体寸法は直径7cm、高さ2.7cmである。実験は $\sigma_z = 2.0 \text{ kgf/cm}^2$ 一定の下で、排水状態で行った。

半径方向繰返せん断試験は、図-2に示すようにまず $T_{zy}$ のみを載荷除荷した(1st loading)後、 $T_{zy}$ 方向から角度 $\alpha$ をなす半径方向に載荷除荷する(2nd loading)ものである。円周方向せん断試験は、合せん断応力  $\tau = \sqrt{T_{zx}^2 + T_{zy}^2}$  一定の円経路に沿って回すものである。また、せん断ひずみ経路に沿った累加せん断ひずみ  $G = \sum G = \sum \sqrt{\Delta T_{zx}^2 + \Delta T_{zy}^2}$  なるパラメータを解析のため導入している。

## 2. ひずみ増分方向の決定

水平面内でせん断応力の方向が種々変化するため、せん断応力とせん断ひずみ増分の方向にズレが生じ、従来の2次元状態での応力比・ひずみ増分比関係式(ひずみ増分方向を決定する式)がこの場合は成立しないと考えられる。そこで図-3に示すような応力点が球面上の「摩擦円」を引張って動き、円の中心点の軌跡が粒子接点の軌跡(ひずみ増分方向)に対応するというモデルを想定した。これは球面上の粒子に着目した3次元応力下の摩擦法則を表現するもので、摩擦円の内部に応力点があるときには粒子は滑動しないと考える。粒子接点の単位ベクトルを  $\vec{n} = (n_1, n_2, n_3)$ 、応力  $(\sigma_z, T_{zx}, T_{zy})$  の単位ベクトルを  $\vec{U} = (U_1, U_2, U_3)$  とすれば、粒子接点の滑動方向  $d\vec{n} = (dn_1, dn_2, dn_3)$  (これはひずみ増分  $(d\epsilon_z, d\gamma_{zx}, d\gamma_{zy})$  方向に一致) は最終的に次式で与えられる。<sup>2)</sup>

$$dn_i = -n_j dU_j (U_i - n_i \cos \phi_u) / \sin^2 \phi_u \quad (1)$$

ここに、 $\phi_u$  は粒子間摩擦角で  $\tan \phi_u = 0.20$ とした。

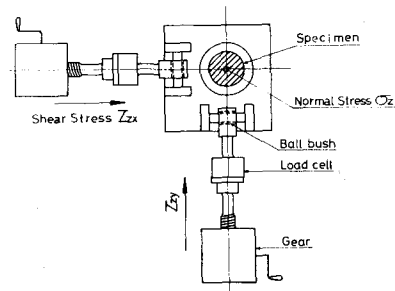


図-1 任意方向単純せん断試験機の平面図

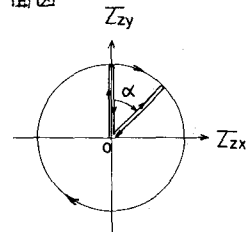


図-2 せん断応力経路

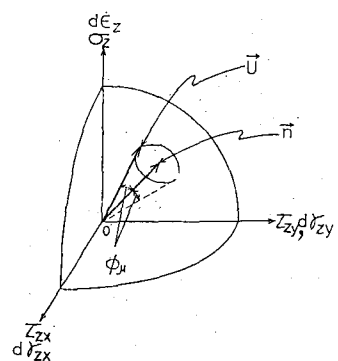


図-3 ひずみ増分方向を決める球面摩擦モデル

### 3. 実験結果の検討

図-4は半径方向繰返せん断試験 ( $\alpha = 45^\circ, 90^\circ, 135^\circ$ ) の実測値と計算値(実線)を示している。ひずみの絶対値 ( $G, \varepsilon_z, \gamma_{zx}, \gamma_{zy}$ ) の計算方法について、紙面の都合上文献1)を参照されたい。なお、 $\gamma_{zy}$ ～ $\gamma_{zx}$ 図のせん断ひずみ増分  $\Delta G$  の方向は図-3の球面摩擦モデルによって算定した。同図より  $\Delta G$  の方向が徐々に、合せん断応力工の方向 ( $\alpha = 45^\circ, 90^\circ, 135^\circ$ ) に近づくのが見られる。図-5は  $\tau/\sigma_z = 0.48$ (一定)で3周回した円径路せん断試験の実測値を  $\varepsilon_z/\sigma_z$  ～  $\gamma_{zy}$  ～  $\varepsilon_z$  関係と  $\tau_{zx}/\sigma_z$  ～  $\gamma_{zx}$  ～  $\varepsilon_z$  関係でプロットしたものである。これらの図より、垂直ひずみ  $\varepsilon_z$  が合せん断応力工の回転とともに、らせん状に圧縮していくのが見られる。

図-6(a), (b)は同じ円径路せん断試験のせん断ひずみ増分  $\Delta G$  の

方向の実測値と球面摩擦モデルによる計算値を示している。  
(a), (b)どちらも最初の一回であり、矢印は方向だけを示し、大きさには意味がない。

謝辞 御援助いただいている  
本学山内利彦教授、議論をいただいた中井照夫助教授に謝意を表します。

文献 1) 竹田・松岡・福武  
(1983): 第38回土木学会年次講演会, III-22, PP43-44.

2) 軽部・下村・鈴木(1975): 第10回土質工学研究発表会, 45, PP169-172。

3) 中井・三原・猪谷(1983)  
: 第18回土質工学研究発表会, 138, PP339-342

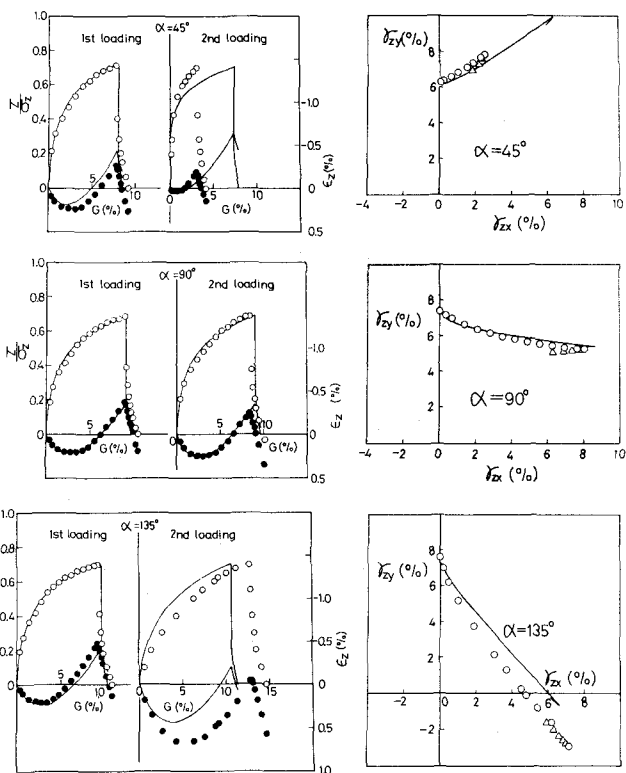


図-4 半径方向繰返せん断試験結果と計算値

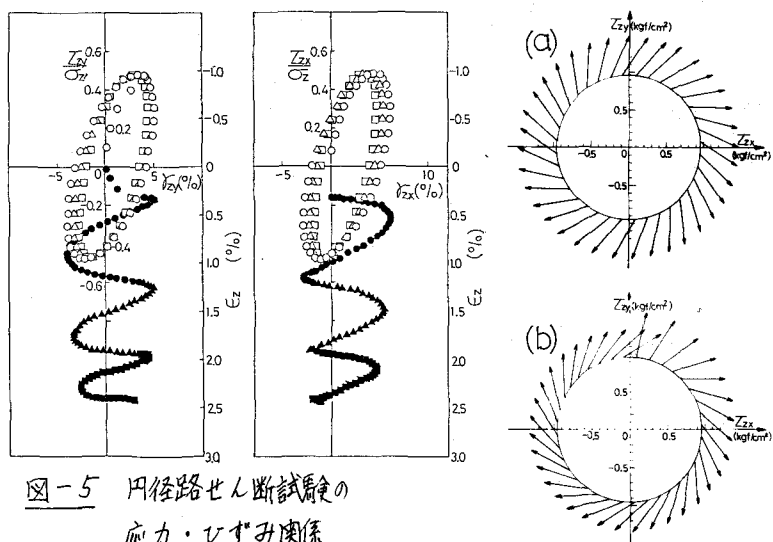


図-5 円径路せん断試験の  
応力・ひずみ関係

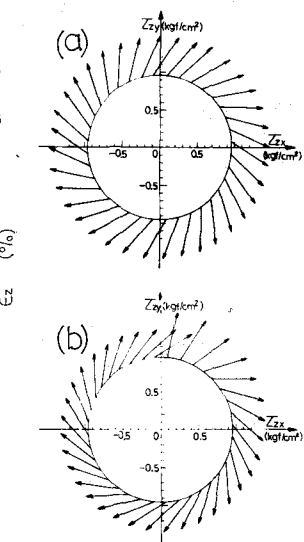


図-6 円径路せん断試験  
のせん断ひずみ増  
分の方向  
(a) 実測値  
(b) 計算値